

名古屋大学 正員 市原松平
同 准員 森 信夫

(1) まえがき

実験から得られる極限支持力値は、慣用されている支持力式の値よりも、数倍の値とすることが幾多の研究が求むべきだ。筆者らは第2回年次学術講演会において、実験値が大きくなるのは載荷板の幅に影響されるからであることを見出し、実用の際には、慣用の支持力式を用いられたいことを示した。今回はさらに、大きな因子として載荷板の底面摩擦角が極限支持力におよぼす影響を実験から求めた。

(2) 実験装置と実験方法

実験に用いた砂槽は、長さ×幅×奥行=100cm×50cm×30cmで、ここに密な状態(主として、 $\delta_f=1.59\%/m^3$, $\delta_f=1.55\%/m^3$)で豊浦標準砂と均一に詰め、その表面に載荷板を水平に置いた。載荷板は、二次元状態を維持し、計測する荷重を加ゆる砂槽の側壁摩擦力を十分に除去できる三分離載荷板を用いた。(図-1) 載荷板の大きさは、全奥行 $L=30$ cmに対して幅 $B=20$ cm, 30 cm, 50 cm, 75 cm, 100 cmの5種類とした。各 B の大きさの載荷板の底面に異なる粗度を与えよため、底面に標準砂を張り付けたもの(完全に粗な状態)、底面を軽く研磨したもの(半は粗な状態)、底面にシリコンオイルを塗りゴムスリートを張り付けたもの(完全に滑らかな状態)の3つの処理を施した。これらの粗度の決定は、改良型一面ピン試験機で行ない、その結果の一例を図-2に示す。同図から上記の3種類の粗度を変えた効果は十分に得られている。全荷重はモーターを用いてワイヤと16%の速度で連続的に引張り、中央載荷板($L=15$ cm)に作用する荷重をロードセル(500kg)で計測した。このロードセルの示す値を二次元状態の極限支持力値(破壊時荷重)とした。

図-1

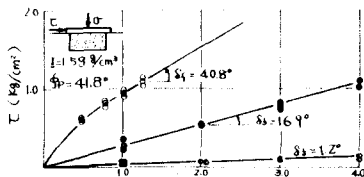
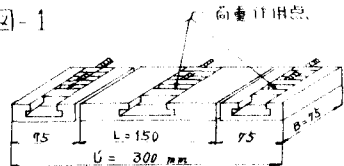


図-2

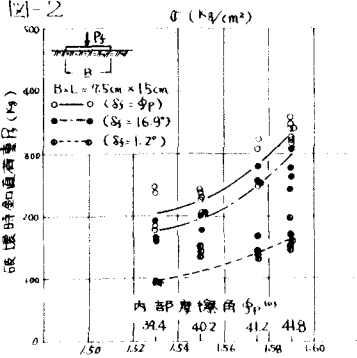


図-3 単位体積重量 γ (%/m³)

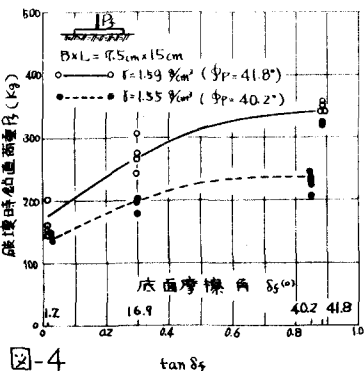


図-4

(3) 破壊時鉛直荷重 P_{δ} (kg)

図-3に $B \times L = 75 \text{ cm} \times 15 \text{ cm}$ の載荷板で、底面摩擦角 $\delta_s = \phi_p, 16.9^\circ, 1.2^\circ$ での破壊時鉛直荷重 P_{δ} を砂の単位体積重量 γ (%/m³)に対して示した。図より P_{δ} は δ の増大に従って大きく異なり、同じ単位体積重量でも底面摩擦角の値により異なることかみかる。各 B の P_{δ} - γ 曲線は δ_s によって異なる。 $\delta_s = \phi_p$ の完全に粗な状態の曲線に比べ、 $\delta_s = 16.9^\circ$ では約80%、 $\delta_s = 1.2^\circ$ では約50%になる。ここに ϕ_p は平面すすみ三軸圧縮試験から求めた砂の内部摩擦角である。図-4は底面摩擦角 δ_s に対して破壊時鉛直荷重 P_{δ} を示した一例である。同図に見られるような δ_s に対す

る β の変化を明確に表わすのに、Meyerhofの方法を用いた。MeyerhofはPrandtl, Hencky, Lundgren and Mortensenらの支持力計算を基にして、底面粗度か砂の内部摩擦角 ϕ に等しくない砂上の帯基基礎の破壊時接触圧を図-5のように仮定し、その時の破壊時鉛直荷重 $P_f(\delta_f+\phi)$ と、

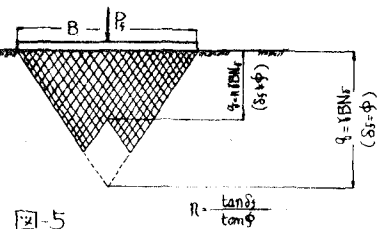


図-5

$$P_f(\delta_f+\phi) = \frac{\gamma B^2 N_f}{2} \left(n + \frac{1-n^2}{2} \right) = P_f(\delta_f+\phi) \left(n + \frac{1-n^2}{2} \right) \quad (1)$$

とした。 $n = \tan \delta_f / \tan \phi$ 底面摩擦力の稼働率。(1)式には多くの仮定が含まれているが、この式を用いて δ_f に対する P_f の変化を示した一例が図-6にある。(1)式が筆者らの実験値をかかなり良く満足し、 P_f の δ_f に対する変化は底面幅にあまり影響されてないことがわかる。同じことが単位体積重量 γ が違ってもいえる。

斜線部の面積が載荷板底面摩擦角 δ_f の場合の破壊時鉛直荷重 P_f となる。

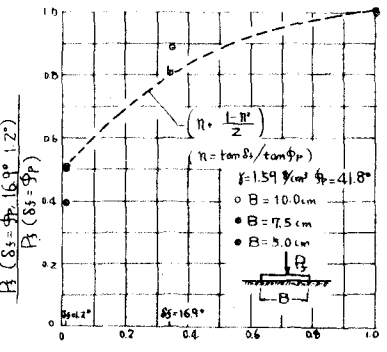


図-6

(4) 載荷板の底面幅 B に対する極限支持力 δ_f (kg/cm^2) 極限支持力 δ_f に対して、底面摩擦角の影響と砂の単位体積重量 γ と ϕ_p の影響を考慮した $\delta_f(1 - \tan^2 \phi_p) / \gamma \sqrt{1 + \frac{1-n^2}{2}}$ (cm)を底面幅 B (cm) に対して示した一例が図-7である。同図中に示した関係式は、 δ_f が異なっても同じである。図中の実測値の平均値の式から

$$N_{fs} \text{は幅} B \text{ に対して、} N_{fs} = \frac{2P_f}{\gamma B^2 L} = \frac{2\delta_f}{\gamma B} \quad (2) \quad \text{と}$$

$$N_{fs} = 2 \cdot \left(244 + \frac{185}{B} \right) \left(\frac{1}{1 - \tan^2 \phi_p} \right) \left(n + \frac{1-n^2}{2} \right) \quad (3)$$

と表わせる。式(3)の N_{fs} を B のみで求める $\times B = 300 \text{ cm}$ の N_{fs} と $B = 1000 \text{ cm}$ の N_{fs} の値は約2%の差である。それ故、幅 B が十分に大きい場合、同式の B の項は無視できる値となり、このときの N_{fs} は、

$$N_{fs} = \frac{48.8}{(1 - \tan^2 \phi_p)} \left(n + \frac{1-n^2}{2} \right) \quad (4)$$

とあり、 ϕ_p 、 δ_f の関数となる。図-8は実験を行なった ϕ_p に対して(4)式の N_{fs} を示し、 δ_f を変数にとって示した。図から $\delta_f = \phi_p$ ではSchultzの支持力値、 $\delta_f = 16.9^\circ$ ではTerzaghi、 $\delta_f = 1.2^\circ$ ではSokolowskiと一致している。これらは図-7の平均値の実験式に基づいたものであるから、散乱している実測値の上限、下限値から、各 δ_f について $\pm 30\%$ の範囲にある極限支持力が考えられる。 $\delta_f = \phi_p$ の場合の下限値はTerzaghiの支持力係数と一致する。

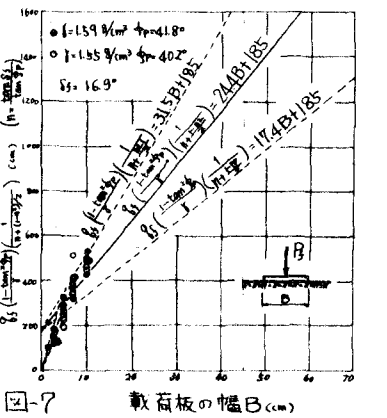


図-7

ここに実験を一緒に行った長官の島田雅吉君に深く感謝する。
参考文献：Meyerhof, G.G. (1955) "Influence of Roughness of Base and Ground-Water Conditions On The Ultimate Bearing Capacity Of Foundations" Géotechnique Vol. V

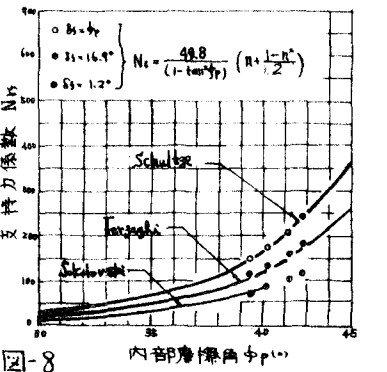


図-8